



УДК 542.978:612.397.82.35

ИНГИБИРОВАНИЕ БИОСИНТЕЗА ХОЛЕСТЕРИНА В ГЕПАТОЦИТАХ КРОЛИКА 3 β -(ω -ГИДРОКСИАЛКОКСИ)ХОЛЕСТ-5-ЕНАМИ

© 1996 г. А. В. Малогин, Д. К. Новиков, В. А. Косых, Е. И. Косенков, Н. В. Медведева, Н. В. Валентинова, А. Я. Штейншнейдер, А. Ю. Мишарин[#]

Институт экспериментальной кардиологии, Кардиологический научный центр РАМН,
121552, Москва, 3-я Черепковская ул., 15А

Поступила в редакцию 05.12.95 г.

Синтезированы 3 β -(2-гидроксигидрокси)-, 3 β -(4-гидроксибутокси)-, 3 β -(6-гидроксигексилокси)-, 3 β -(9-гидроксигидрокси)- и 3 β -(2-гидрокси-2-[³H]этокси)холест-5-ены. Методом спинового зонда проведена оценка влияния синтезированных соединений на фазовый переход димиристоилфосфатидилхолина. Исследованы временные и дозовые зависимости включения 3 β -(2-гидрокси-2-[³H]этокси)холест-5-ена в гепатоциты кролика (первичная культура). Показано, что 3 β -(2-гидроксигидрокси)- и 3 β -(4-гидроксибутокси)холест-5-ены ингибируют биосинтез холестерина из [¹⁴C]ациетата в культуре гепатоцитов кролика при 24-ч преинкубации.

Ключевые слова: синтетические стеролы, ингибиторы биосинтеза холестерина, первичная культура гепатоцитов.

Простые алкилхолестериловые эфиры (3 β -алкилхолест-5-ены), являющиеся аналогами холестериловых эфиров жирных кислот, неоднократно использовались в исследовании метаболизма липопротеинов [1–4]. Имеются данные об ингибировании 3 β -полиэтоксихолест-5-еном активности гидроксиметил-СоА-редуктазы (КФ 1.1.1.34) в культуре клеток [5, 6]. Некоторые алкилхолестериловые эфиры, содержащие в алкильной цепи свободную гидроксильную группу, 3 β -(ω -гидроксиацетокси)холест-5-ены, применялись в исследованиях бислойных липидных мембран и пленок [7–11], однако до настоящего времени их биологическая активность не изучалась.

В настоящем сообщении описано получение 3 β -(ω -гидроксиацетокси)холест-5-енов (I)–(IV) и проведена оценка их влияния на биосинтез холестерина в первичной культуре гепатоцитов кролика. В соединениях (I)–(IV) полностью сохранен холестериловый фрагмент, присутствуют гидроксильная группа, необходимая для проявления биологической активности [12], и простая эфирная связь, устойчивая к ферментативному гидролизу. Последнее обстоятельство исключает возможность превращения исследуемых соединений в цитотоксичные метаболиты, в частности в холест-4-ен-3-он [12, 13].

Гомологичные 3 β -(ω -гидроксиацетокси)холест-5-ены (I)–(IV) получены реакцией 6 β -метокси-3 α ,5 α -циклохолестана (V) с соответствующими диолами в присутствии метансульфокислоты [14]

(схема). При проведении реакции при 150°C в отсутствие сорастворителя [14] выход целевого продукта снижался по мере уменьшения длины цепи диола и составлял 68, 36 и 12–19% для соединений (IV), (II) и (I)* соответственно. Низкий выход соединения (I) обусловлен плохой растворимостью исходного циклостерола (V) в кипящем этиленгликоле и, как следствие, превращением циклостерола в 3,5-холестадиен. При проведении реакции в сухом диоксане (кипение в течение 30 мин) выход соединений (I)–(III) составлял 75–80% (табл. 1).

Синтез радиоактивномеченного 3 β -(2-гидрокси-2-[³H]этокси)холест-5-ена (I*), необходимого для опытов в культуре клеток, представлен на схеме. Выбор гепатоцитов кролика в качестве клеточной модели для изучения влияния соединений (I)–(IV) на биосинтез холестерина обусловлен тем, что данная культура позволяет оценить важнейшие аспекты метаболизма стеринов в организме: биосинтез холестерина “de novo”, образование холестериловых эфиров жирных кислот, желчегенез, секрецию и пиноцитоз холестерина в составе липопротеинов [15, 16]. Поскольку биологические эффекты стеринов могут зависеть и от включения их в клеточные мембрany, и от участия во внутриклеточных регуляторных процессах [17], было изучено влияние соединений (I)–(IV) на физические характеристики фосфолипидных бислойных мембран в сравнении с

* Для соединения (I) приведены выходы для реакции с 5- и 40-кратным избытком этиленгликоля.

[#] Автор для переписки.

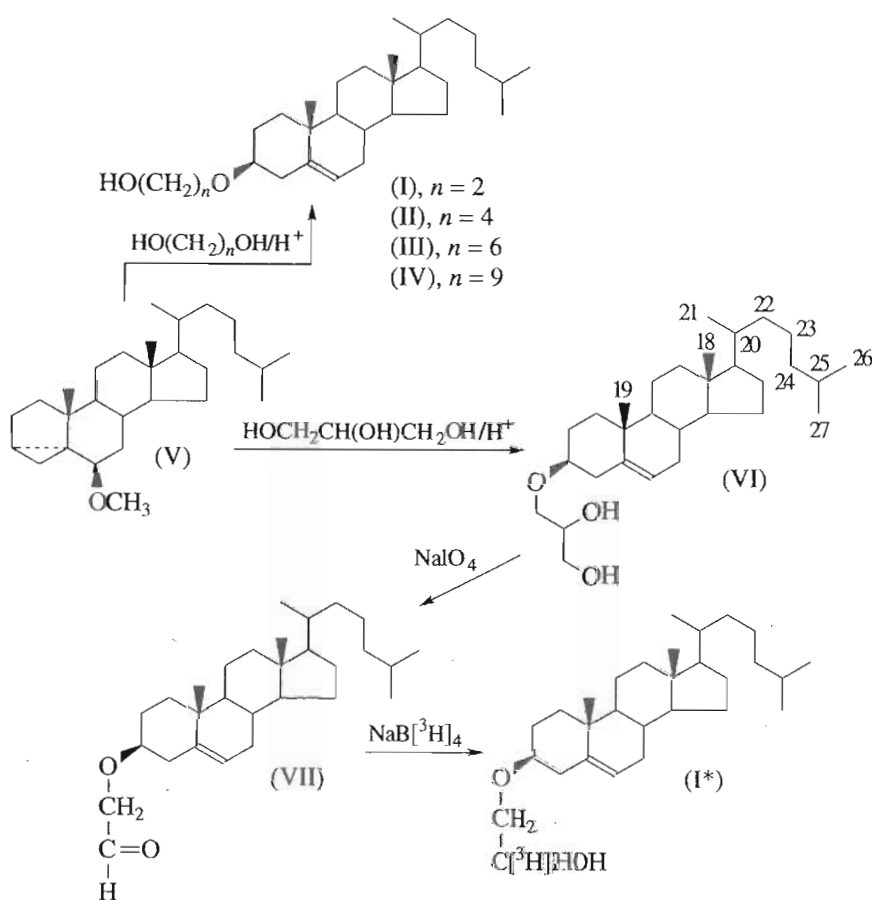


Схема.

холестерином и охарактеризовано связывание стерина (I^*) с гепатоцитами в культуре.

О возмущающем действии соединений (I)–(IV) на структуру липидного бислоя димиристоилфосфатидилхолина (DMPC) судили по изменениям спектров ЭПР парамагнитного зонда – 5-доксистеариновой кислоты в составе липосом из DMPC. При 20°C включение соединений (I)–(IV) в липосомы достигало насыщения приблизительно

за 2 ч. Влияние соединений (I)–(IV) на состояние липидного бислоя проявлялось в снижении температуры фазового перехода (T_c) и увеличении ширины интервала фазового перехода (ΔT). Степень упорядоченности ацильных цепей DMPC, характеризуемая величиной $2A_{\max}$ (чем больше $2A_{\max}$, тем упорядоченность выше [18]), при температурах выше T_c в присутствии соединений (I)–(IV) была больше, чем для липосом DMPC без указанных

Таблица 1. Характеристика соединений (I)–(IV)*

Соединение	Выход, %	T_c , $^\circ\text{C}$	M^+ (Me_3Si -произв.)	V , мл при элюции ^{4*}	
				CH_3OH	$\text{CH}_3\text{OH}-\text{H}_2\text{O}, 95:5$
Холестерин	–	–	–	10.6	27.8
(I)	80 ^{2*}	104	504	12.2	32.2
(II)	75 ^{2*}	90–92	532	14.7	39.8
(III)	76 ^{2*}	84–85	564	16.8	52.0
(IV)	68 ^{3*}	69–70	Не опр.	20.2	62.4

* Элементный анализ (С, Н) для соединений (I)–(IV) удовлетворителен.

^{2*} Алкоголиз (V) в диоксане.

^{3*} Алкоголиз (V) в отсутствие растворителя.

^{4*} ВЭЖХ (усл. см. "Экспер. часть").

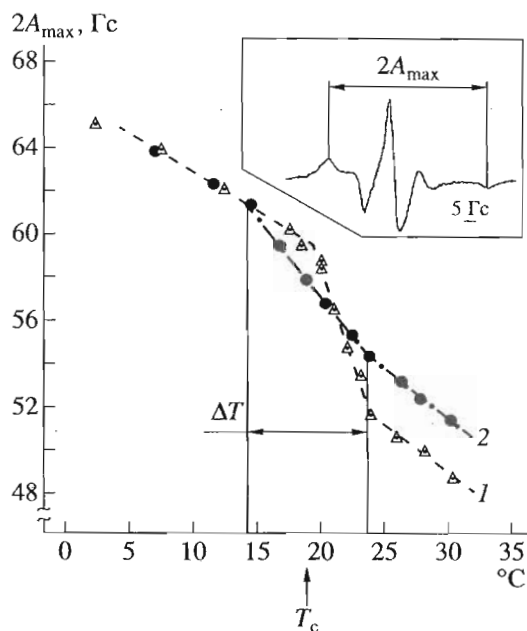


Рис. 1. Зависимость параметра $2A_{\max}$ спектра ЭПР 5-доксилстеарата от температуры в липосомах DMPC (1) и в липосомах DMPC, содержащих 20 мольных % соединения (II) (2). На врезке – экспериментальный спектр 5-доксилстеарата в липосомах DMPC. Показан параметр сверхтонкого расщепления $2A_{\max}$.

добавок (рис. 1, табл. 2). Соединения (I) и (II), обладающие наибольшей полярностью, вызывали наиболее сильные спектральные изменения, однако монотонной зависимости перечисленных параметров от длины гидроксиалкильной цепи не выявлено.

3β -(ω -Гидроксиалкокси)холест-5-ены (I)–(IV), добавленные к первичной культуре гепатоцитов кролика в составе культуральной среды (в концентрации до 150 мгк/мл), не снижали жизнеспособности клеток. Связывание стеролов с гепатоцитами кролика иллюстрирует рис. 2а: включение соединения (I*) (при концентрациях в культуральной среде 1 и 10 мМ) имело насыщающий характер, равновесие устанавливалось через ~3 ч. Включение стерола (I*) и [3 H]холестерина в гепатоциты кролика линейно возрастало с увеличением их концентрации в культуральной среде (рис. 2б).

Влияние соединений (I)–(IV) на скорость биосинтеза холестерина в гепатоцитах кролика оценивали по включению [14 C]ацетата в холестерин [19] при кратковременной (3 ч) и 24-часовой преникубации клеток с исследуемыми соединениями. Ни одно из исследуемых соединений не влияло на синтез холестерина при 3-часовой инкубации; при 24-часовой инкубации соединения (I) и (II) ингибиравали биосинтез холестерина (табл. 3). Поскольку связывание стерола (I*) с клетками достигало равновесия за 3 ч (рис. 2а), а его ингибирующий эффект проявлялся только при длительной инкубации, можно предположить, что снижение скорости биосинтеза холестерина обусловлено участием соединения (I) во внутриклеточных регуляторных процессах.

Гидроксиалкоксизамещенные производные холестерина (I) и (II) заметно снижали скорость биосинтеза холестерина в клетках в противоположность холестерину и его алкиловым эфирам, не проявляющим, как известно [17], ингибирующих свойств. Аналог холестерина, содержащий

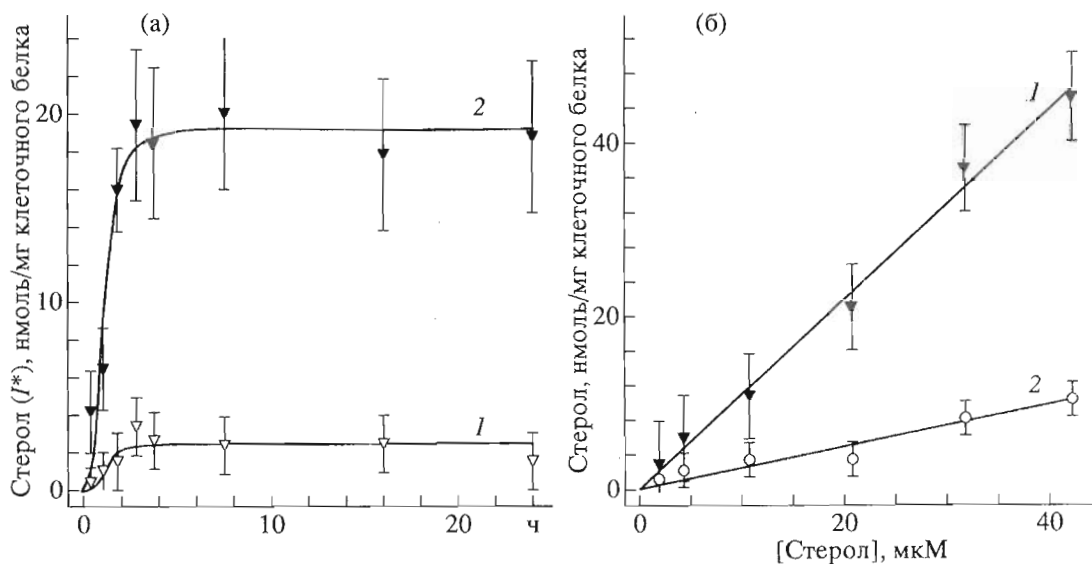


Рис. 2. Включение стерола (I*) и [3 H]холестерина в гепатоциты кролика. (а) – содержание (I*) в клетках в зависимости от времени инкубации при его концентрации в культуральной среде 1 (1) и 10 мкМ (2). (б) – зависимость связывания (I*) (1) и [3 H]холестерина (2) с клетками от концентрации стеролов в среде после 4 ч инкубации.

Таблица 2. Фазовые переходы DMPC при добавлении стеринов (I)–(IV)

Стерин*	$2A_{\max}^{**}$, Гс (± 0.2)	ΔT , °C	T_c , °C (± 0.2)
Не добавлен	48.5	2.2 ± 0.2	21.7
Холестерин	49.1	2.4 ± 0.7	20.7
(I)	50.7	8.4 ± 0.5	20.5
(II)	51.4	9.0 ± 0.4	18.8
(III)	49.5	5.8 ± 0.2	20.0
(IV)	50.2	4.5 ± 0.2	19.7

* При мольной доле стерина 20%.

** Параметр сверхтонкого расщепления $2A_{\max}$ измерен при 30°C.

Таблица 3. Влияние соединений (I)–(IV) на уровень биосинтеза холестерина в первичной культуре гепатоцитов кролика*

Соединение	Концентрация, мкМ	Уровень синтеза холестерина, %
(I)	2.5	85 ± 9
	25	49 ± 6^a
	250	30 ± 4^b
(II)	2.5	81 ± 9
	25	85 ± 3
	250	65 ± 8^a
(III)	2.5	105 ± 5
	25	94 ± 8
	250	105 ± 9
(IV)	2.5	98 ± 11
	25	96 ± 6
	250	103 ± 8

Примечание. а) $p < 0.05$, б) $p < 0.005$.

* Включение [^{14}C]ацетата во фракцию холестерина в отсутствие соединений (контроль, 100%) составляло 171000 расп./($\text{мин} \times 1 \text{ мг клеточного белка} \times \text{ч}$) $^{-1}$.

вицинальную диольную группу, рацемический глицерилхолестериловый эфир (VI), ингибировал синтез холестерина в клетках гепатомы Hep G2 (неопубликованные результаты), однако концентрация, вызывающая 50% ингибирование синтеза ($ID_{50} 8.6 \times 10^{-5}$ М), была выше, чем для соединения (I) ($ID_{50} 2.4 \times 10^{-5}$ М). Полагаем, что полученные результаты могут оказаться полезными в поиске новых структур, регулирующих метаболизм холестерина в клетках печени.

ЭКСПЕРИМЕНТАЛЬНАЯ ЧАСТЬ

ПМР-спектры записаны на приборе Bruker WM 500 в дейтерохлороформе. В качестве внутреннего стандарта использовался сигнал CHCl_3 в CDCl_3 ($\delta = 7.24$ от TMS). Приведены значения хим. сдвигов (δ , м. д.) и констант спин-спинового взаимодействия (J , Гц). ТСХ проводили на TLC- и HPTLC-пластинках с силикагелем G фирмы Merck в системах гексан–бензол (3 : 2), толуол–этилацетат (9 : 1, 7 : 1, 3 : 1), толуол–ацетон (9 : 1 и 5 : 1). Для обнаружения веществ использовали 5% раствор треххлористой сурьмы в сухом хлороформе и 5% раствор молибдата аммония в 10% серной кислоте. ВЭЖХ проводили на приборе Du Pont 8800, оснащенном колонкой Octadecyl Si (Serva), в метаноле и смеси метанол–вода (95 : 5) в изократическом режиме со спектрофотометрическим детектированием при 210 нм. Препаративную хроматографию проводили на силикагеле L 40–100 (Chemapol) и силикагеле G 40 (Merck), а также на пластинках PSC Kieselgel (Merck). Триметилсилильные производные получали обработкой 0.5 мг стерина смесью, состоящей из 20 мкл N,N-(бис-триметилсилил)трифторацетамида, содержащего 1% триметилхлорсилана, 20 мкл абс. ацетонитрила и 10 мкл сухого пиридина. ГХ-МС-анализ проводили на приборе АЕІ, снабженном колонкой DB 5 (0.32 мм × 60 м; 0.3 мкм), при 295°C.

Этиленгликоль получен от фирмы Merck, [^3H]холестерин, [^{14}C]ацетат и $\text{NaB}[^3\text{H}]$ – от фирмы Amersham, 1,4-бутандиол, 1,6-гександиол и 1,9-нонандиол синтезированы из соответствующих дикарбоновых кислот фирмы Merck этерификацией метанолом в присутствии метансульфокислоты с последующим восстановлением дизифиров алюмогидридом лития. 6 β -Метокси-3 α ,5 α -циклохолестан (V) получали известным методом [20] и дважды кристаллизовали из смеси бензол–метанол (1 : 5).

3 β -(2-Гидроксизтокси)холест-5-ен (I). Смесь 10.0 г (25 ммоль) 6 β -метокси-3 α ,5 α -циклохолестана (V), 6.0 мл (6.7 г, 107 ммоль) абс. этиленгликоля, 40 мл абс. диоксана и 100 мг метансульфокислоты кипятили 30 мин, контролируя протекание реакции методом ТСХ в системе гексан–толуол (3 : 2). Затем прибавляли избыток насыщенного раствора NaHCO_3 , экстрагировали хлороформом (3 × 50 мл), хлороформный раствор промывали водой, сушили, остаток упаривали с ацетоном. Продукт выделяли двукратной перекристаллизацией из ацетона. Маточник упаривали, остаток наносили на колонку (2.8 × 12 см) с силикагелем, уравновешенную толуолом, продукт элюировали смесью толуол – этилацетат (7 : 1) и кристаллизовали из ацетона. Суммарный выход 8.60 г. ПМР-спектр: 0.671 (с, 3H, CH_3 -18); 0.852 (д, 3H, J 6.6) и

0.857 (д, 3Н, *J* 6.6) (CH_3 -26 и CH_3 -27); 0.907 (д, 3Н, *J* 6.6, CH_3 -21); 0.997 (с, 3Н, CH_3 -19); 3.191 (м, 1Н, Н-3); 3.578 (м, 2Н, COCH_2); 3.704 (т, 2Н, HOCH_2); 5.343 (м, 1Н, Н-6).

3 β -(4-Гидроксибутокси)холест-5-ен (II) получали из 1 г соединения (V) и 2.2 мл 1,4-бутандиола в присутствии следов метансульфокислоты в диоксане по методике, описанной выше для синтеза соединения (I), выделяли на колонке с силикагелем в системе толуол–этилацетат (7 : 1) и кристаллизовали из ацетона. Выход 870 мг. ПМР-спектр: 0.661 (с, 3Н, CH_3 -18); 0.847 (д, 3Н, *J* 6.6) и 0.852 (д, 3Н, *J* 6.6) (CH_3 -26 и CH_3 -27); 0.900 (д, 3Н, *J* 6.6, CH_3 -21); 0.983 (с, 3Н, CH_3 -19); 3.161 (м, 1Н, Н-3); 3.500 (м, 2Н, COCH_2); 3.627 (т, 2Н, HOCH_2); 5.329 (м, 1Н, Н-6).

3 β -(6-Гидроксигексилокси)холест-5-ен (III) получали из 1 г соединения (V) и 2.5 мл 1,6-гександиола в присутствии следов *n*-толуолсульфокислоты в диоксане по методике, описанной выше для синтеза соединения (I), выделяли на колонке с силикагелем в системе толуол–этилацетат (7 : 1) и кристаллизовали из ацетона. Выход 910 мг. ПМР-спектр: 0.664 (с, 3Н, CH_3 -18); 0.846 (д, 3Н, *J* 6.6) и 0.852 (д, 3Н, *J* 6.6) (CH_3 -26 и CH_3 -27); 0.902 (д, 3Н, *J* 6.6, CH_3 -21); 0.987 (с, 3Н, CH_3 -19); 3.109 (м, 1Н, Н-3); 3.442 (м, 2Н, COCH_2); 3.629 (т, 2Н, *J* 6.7, HOCH_2); 5.328 (м, 1Н, Н-6).

3 β -(9-Гидроксинонилокси)холест-5-ен (IV). Смесь 1.0 г (2.5 ммоль) 6 β -метокси-3 α ,5 α -циклохолестана (V), 3.1 г (19 ммоль) 1,9-нонандиола и 10 мг *n*-толуолсульфокислоты нагревали 12 мин при 150°C, контролируя ход реакции методом ТСХ в системе гексан–толуол (3 : 2). Затем реакционную смесь экстрагировали толуолом (3 × 20 мл), толуольный экстракт промывали насыщенным NaHCO_3 , сушили, упаривали с 5 г силикагеля и остаток наносили на колонку (2.8 × 12 см) с силикагелем, уравновешенную толуолом; продукт элюировали смесью толуол–этилацетат (9 : 1) и кристаллизовали из ацетона при –20°C. Суммарный выход 850 мг. ПМР-спектр: 0.664 (с, 3Н, CH_3 -18); 0.850 (д, 3Н, *J* 6.6) и 0.854 (д, 3Н, *J* 6.6) (CH_3 -26 и CH_3 -27); 0.903 (д, 3Н, *J* 6.6, CH_3 -21); 0.987 (с, 3Н, CH_3 -19); 3.109 (м, 1Н, Н-3); 3.430 (м, 2Н, COCH_2), 3.622 (т, 2Н, *J* 6.6, HOCH_2); 5.328 (м, 1Н, Н-6).

3 β -[(2R,S)-3-Дигидрокипропилокси]холест-5-ен (VI). Смесь 400 мг (1.0 ммоль) соединения (V), 3 мл (3.78 г, 41 ммоль) глицерина, 10 мл сухого диоксана и 50 мкл метансульфокислоты кипятили 30 мин, выливали в 50 мл насыщенного раствора NaHCO_3 , трижды экстрагировали равным объемом хлороформа, хлороформный слой сушили, упаривали, остаток наносили на колонку (1.2 × 8 см) с силикагелем, уравновешенную бензолом; продукт элюировали смесью бензол–этилацетат (3 : 1),

упаривали, сушили и очищали препаративной ТСХ в системе гексан–ацетон (3 : 1) и перекристаллизацией из ацетона. Выход 220 мг (60%). ПМР-спектр: 0.666 (с, 3Н, CH_3 -18); 0.850 (д, 3Н, *J* 6.6) и 0.854 (д, 3Н, *J* 6.6) (CH_3 -26 и CH_3 -27); 0.900 (д, 3Н, *J* 6.6, CH_3 -21); 0.995 (с, 3Н, CH_3 -19); 3.199 (м, 1Н, Н-3); 3.520–3.750 (м, 4Н) и 3.820 (м, 1Н) – протоны глицеринового фрагмента; 5.342 (м, 1Н, Н-6).

3 β -(2-Оксэтокси)холест-5-ен (VII). К раствору 200 мг соединения (VI) в смеси 2 мл метанола и 5 мл диоксана порциями прибавляли 300 мг NaIO_4 , смесь перемешивали 1 ч, после чего разбавляли 20 мл воды. Продукт экстрагировали бензолом (3 × 30 мл), бензольный экстракт сушили, упаривали и остаток хроматографировали на колонке с силикагелем в бензole. Получили 120 мг стеклообразного продукта (VII), содержащего не более 8% примесей (данные ТСХ и ЯМР) и дающего положительную реакцию с 2,4-динитрофенилгидразином. Полученное вещество без дальнейшей очистки было использовано на стадии восстановления.

3 β -(2-Гидрокси-2-[³H]этокси)холест-5-ен (I*). К раствору 2.4 мг соединения (VII) в 300 мкл диоксана и 100 мкл метанола при охлаждении прибавляли избыток $\text{NaB}^{[3]\text{H}}_4$ (1 мг, 50 КИ/мкмоль). Смесь перемешивали 1 ч при комнатной температуре, прибавляли 100 мкл ацетона, перемешивали еще 10 мин и разбавляли 5 мл хлороформа. Хлороформный раствор трижды промывали 500 мкл насыщенного раствора сульфата натрия, упаривали и остаток хроматографировали на пластинке в системе толуол–этилацетат (7 : 1). Зону, содержащую радиоактивный (I*), элюировали этилацетатом, этилацетат упаривали и продукт дважды перекристаллизовывали, растворяя в 100 мкл кипящего ацетона с последующим выдерживанием раствора в течение 1 ч при –10°C. Выход радиоактивного соединения (I*), идентичного, по данным ТСХ и ВЭЖХ, соединению (I), составлял 1.6 мг.

Липосомы DMPC получали ультразвуковой обработкой 8 мг DMPC (Sigma) в 2 мл трис- HCl -буфера, pH 7.4, содержащего 0.14 М NaCl , в течение 45 мин при 50°C с последующим центрифугированием при 30000g в течение 5 мин или фракционированием на колонке (1.6 × 60 см) с биогелем A-50 M (Bio-Rad). Концентрацию DMPC определяли по липидному фосфору. Полученную липидную дисперсию вносили в пробирки, содержащие исследуемый стерин в виде сухой пленки (20 мольных %), и повторяли ультразвуковую обработку.

О влиянии стеролов (I)–(IV) на фазовое превращение DMPC судили по спектрам ЭПР липосом, содержащих 1% 5-доксилстеарата. Раствор 5-доксилстеариновой кислоты (Aldrich) в EtOH добавляли к липосомам до соотношения 1 моль

5-доксилстеарата/100 моль DMPC. Конечная концентрация спирта не превышала 0.5% (*v/v*), что не влияло на спектр ЭПР образца. Для оценки влияния стеролов на фазовое превращение DMPC в качестве спектрального параметра, характеризующего структурные изменения DMPC, было выбрано расстояние между указанными на рис. 1 (врезка) экстремумами спектра ЭПР ($2A_{\max}$). Зависимость $2A_{\max}$ от температуры аппроксимировали прямыми. Фазовый переход DMPC характеризовали параметрами ΔT (интервал фазового перехода), длиной (по оси абсцисс) отрезка с максимальным наклоном, и T_c – серединой интервала ΔT . Спектры ЭПР регистрировали на приборе E-109 Varian, оснащенном термоприставкой, при мощности СВЧ 20 мВт, частоте модуляции 100 кГц и амплитуде высокочастотной модуляции 2 Гс.

Гепатоциты выделяли из печени кролика породы шиншилла перфузией средой Игла, содержащей 0.05% коллагеназы и 0.005% трипсина [21]. Клетки вносили в 24-ячеечные пластиковые платы с плотностью 2×105 клеток/см² и культивировали в минимальной среде Игла, содержащей эмбриональную сыворотку теленка (10%), L-глутамин (2 мМ), канамицин (100 мкг/мл) и незаменимые аминокислоты (1%), при 37°C в атмосфере с 5% CO₂.

Биосинтез холестерина. Гепатоциты преинкубировали со спиртовыми растворами соединений (I)–(IV) 3 и 24 ч. Концентрация этанола в культуральной среде в опытах и контроле (в отсутствие соединений) составляла 0.8% (по объему). Скорость биосинтеза холестерина оценивали по методу [19]. После инкубации с исследуемыми соединениями клетки промывали фосфатным буфером, культуральную среду заменяли на свежую, содержащую 0.1 мМ 1-[¹⁴C]CH₃COONa (5 мККи/мл среды), и продолжали инкубацию 3 ч. Клетки трижды промывали фосфатным буфером, нейтральные липиды экстрагировали смесью гексан–изопропанол (3 : 2) [19]. Клеточный остаток использовали для определения белка [22]. Липидный экстракт упаривали досуха в токе азота, липиды разделяли ТСХ в системе гексан–эфир–уксусная кислота (70 : 30 : 1), проявляли 10% раствором фосфорномolibденовой кислоты в этаноле; зоны, содержащие холестерин, сокабливали и определяли радиактивность в толуольном сцинтилляторе. Уровень биосинтеза холестерина рассчитывали по включению радиактивной метки в холестерин, нормируя на клеточный белок. Каждое определение проводили в четырех повторах. Включение радиактивной метки в отсутствие исследуемых соединений принимали за 100%. Достоверность полученных различий (*p*) оценивали по критерию Стьюдента.

Авторы благодарны А.С. Антонову и Н.К. Кабаевой за проведение экспериментов по определению цитотоксичности соединений (I)–(IV), С.В. Витту (ИПВ РАН) за проведение ГХ-МС-анализа, Российскому фонду фундаментальных исследований (РФФИ, проект 95-04-12165), Международному научному фонду, национальной программе “Атеросклероз” (проект № 221) за финансовую помощь.

СПИСОК ЛИТЕРАТУРЫ

1. Halperin G., Stein O., Stein Y. // Methods Enzymol. 1986. V. 129. (Pt B). P. 816–848.
2. Blaner W.S., Halperin G., Stein O., Stein Y., Goodman D.S. // Biochim. Biophys. Acta. 1984. V. 794. P. 428–434.
3. Stein Y., Stein O., Olivecrona T., Halperin G. // Biochim. Biophys. Acta. 1985. V. 834. P. 336–345.
4. Halperin G., Gatt S. // Steroids. 1980. V. 35. P. 39–42.
5. Fung C.H., Khachadurian A.K. // Fed. Proc. 1979. V. 38. P. 311.
6. Fung C.H., Khachadurian A.K. // J. Biol. Chem. 1980. V. 255. P. 676–681.
7. Ahmad M.S., Logani S.C. // Aust. J. Chem. 1971. V. 24. P. 143–151.
8. Ahmad M.S., Ansari G.A.S. // Can. J. Spectrosc. 1974. V. 19. P. 105–109.
9. Hudec J., Kirk D.N. // Tetrahedron. 1976. V. 32. P. 2475–2506.
10. Hagmann W.K., Durette P.L., Ponpipom M.M. // US Patent 4652553 (Cl. 514–26, A 61 K31/705). CA. V. 107.7512e.
11. Demel R.A., Lala A.K., Kumari S.N., Van Deenen L.L.M. // Biochim. Biophys. Acta. 1984. V. 771. P. 142–150.
12. Smith L.L., Johnson B.H. // Free Radicals Biol. Med. 1989. V. 7. P. 285–332.
13. Tomkins G.M., Nichols C.W., Chapman D.D., Hotta S., Chaikoff I.L. // Science. 1957. V. 125. P. 936–938.
14. Мишарин А.Ю. // Биоорган. химия. 1989. Т. 15. С. 281–283.
15. Reese J.A., Byard J.L. // In Vitro. 1981. V. 17. P. 935–940.
16. Kosykh V.A., Lakin V.Z., Podrez E.A., Novikov D.K., Volgushev S.A., Victorov A.V., Repin V.S., Smirnov V.N. // Lipids. 1989. V. 24G. P. 109–116.
17. Smith L.L. Cholesterol Autoxidation. N.Y.: Plenum Press, 1981.
18. Spin Labeling – Theory and Applications // Ed. L.J. Berliner. N.Y.: Acad. Press, 1976.
19. Goldstein J.L., Basu S.K., Brown M.S. // Methods Enzymol. 1983. V. 98. P. 241–260.
20. Tadanier J., Cole W. // J. Org. Chem. 1962. V. 27. P. 4611–4617.
21. Kosykh V.A., Podrez E.A., Novikov D.K., Dolbin A.G., Repin V.S., Smirnov V.N. // Atherosclerosis. 1987. V. 68. P. 67–76.
22. Lowry O.H., Rosebrough N.J., Farr A.L., Randall R.J. // J. Biol. Chem. 1951. V. 193. P. 265–275.

Inhibition of Cholesterol Biosynthesis in Rabbit Hepatocytes by 3β -(ω -Hydroxyalkoxy)cholest-5-enes

A. V. Malyugin, D. K. Novikov, V. A. Kosykh, E. I. Kosenkov, N. V. Medvedeva,
N. V. Valentinova, [A. Ya. Shtainshneider], and A. Yu. Misharin

*Institute of Experimental Cardiology, Scientific Cardiological Center, Russian Academy of Medical Sciences,
Tret'ya Cherepkovskaya ul. 15A, Moscow, 121552 Russia*

Abstract— 3β -(2-Hydroxyethoxy)-, 3β -(4-hydroxybutoxy)-, 3β -(6-hydroxyhexyloxy)-, 3β -(9-hydroxynonyloxy)-, and 3β -(2-hydroxy-2-[3 H]ethoxy)cholest-5-enes were synthesized. By means of a spin probe, the influence of the synthesized compounds on the phase transition of dimyristoylphosphatidylcholine were estimated. Time and dose dependences of the incorporation of 3β -(2-hydroxy-2-[3 H]ethoxy)cholest-5-ene into rabbit hepatocytes (the primary culture) were studied. 3β -(2-Hydroxyethoxy)- and 3β -(4-hydroxybutoxy)cholest-5-enes were shown to inhibit cholesterol biosynthesis from [14 C]acetate in rabbit hepatocyte cultures upon a 24-hour preincubation.

Key words: synthetic sterols, inhibitors of cholesterol biosynthesis, primary culture of hepatocytes.